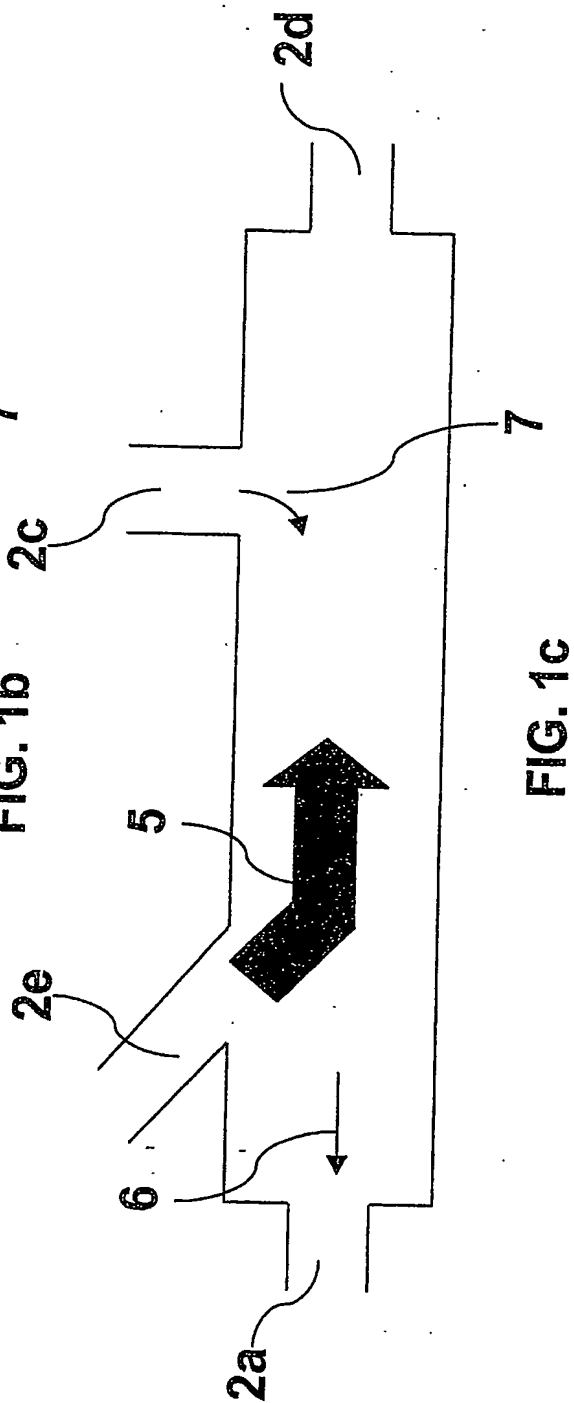
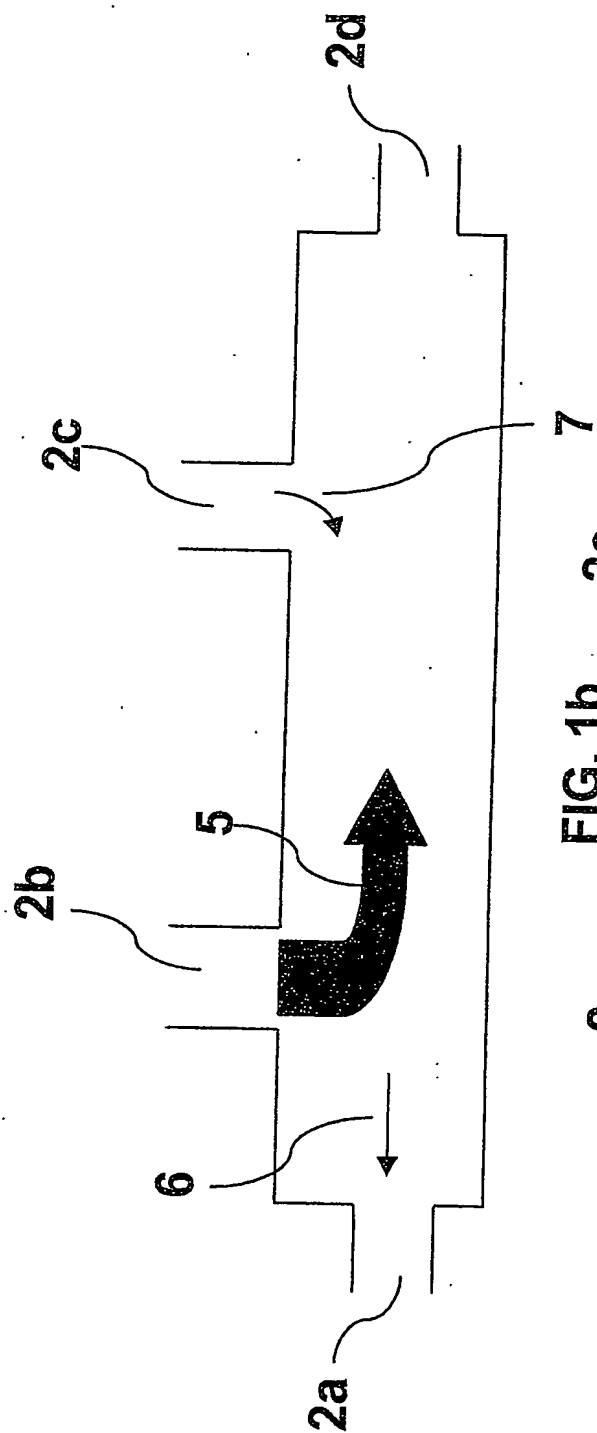
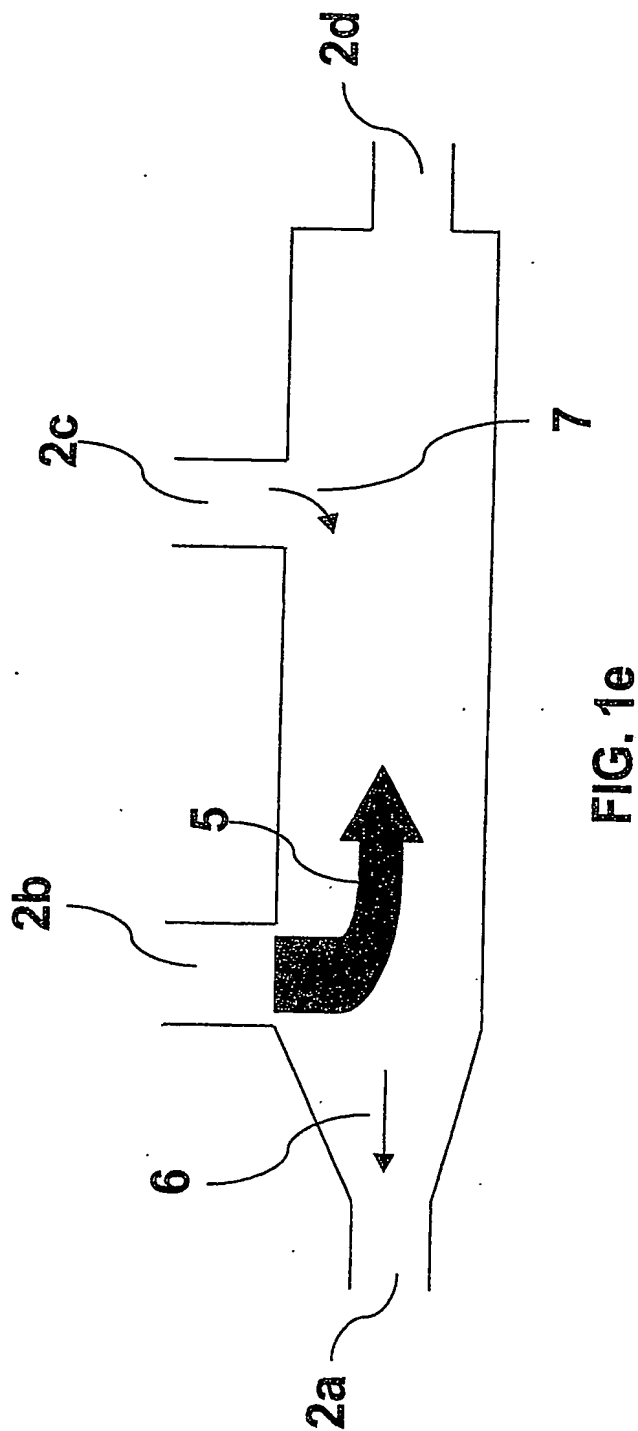
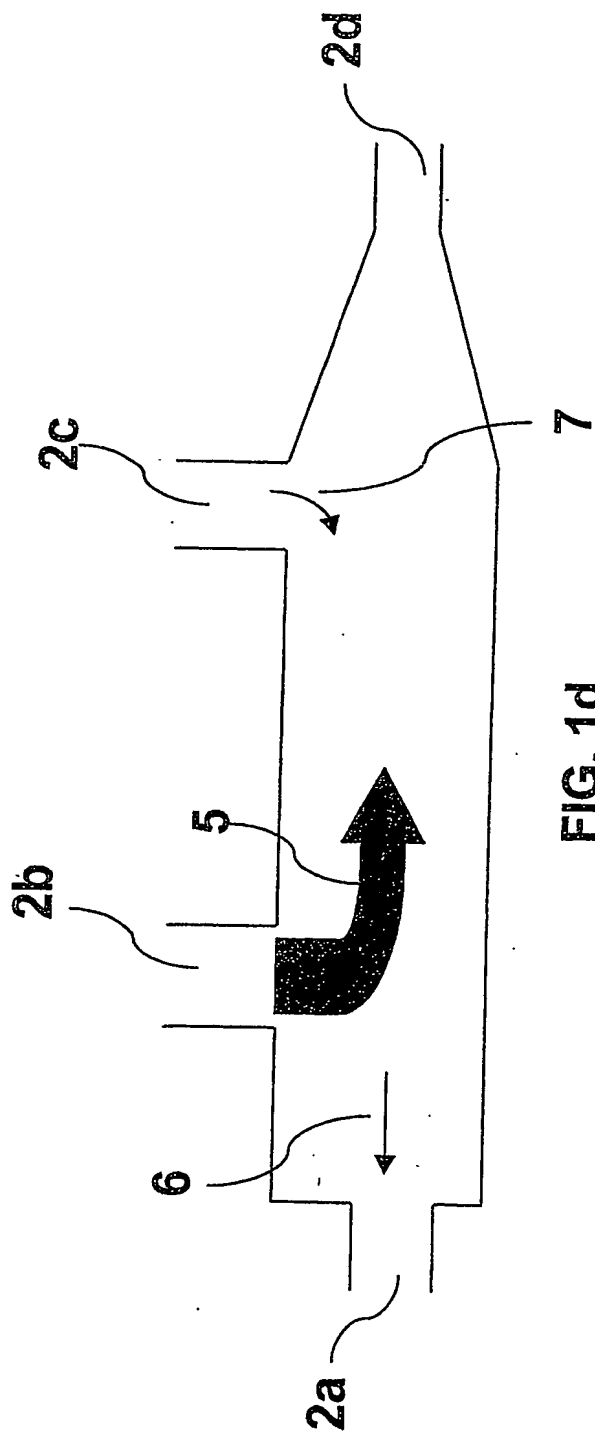
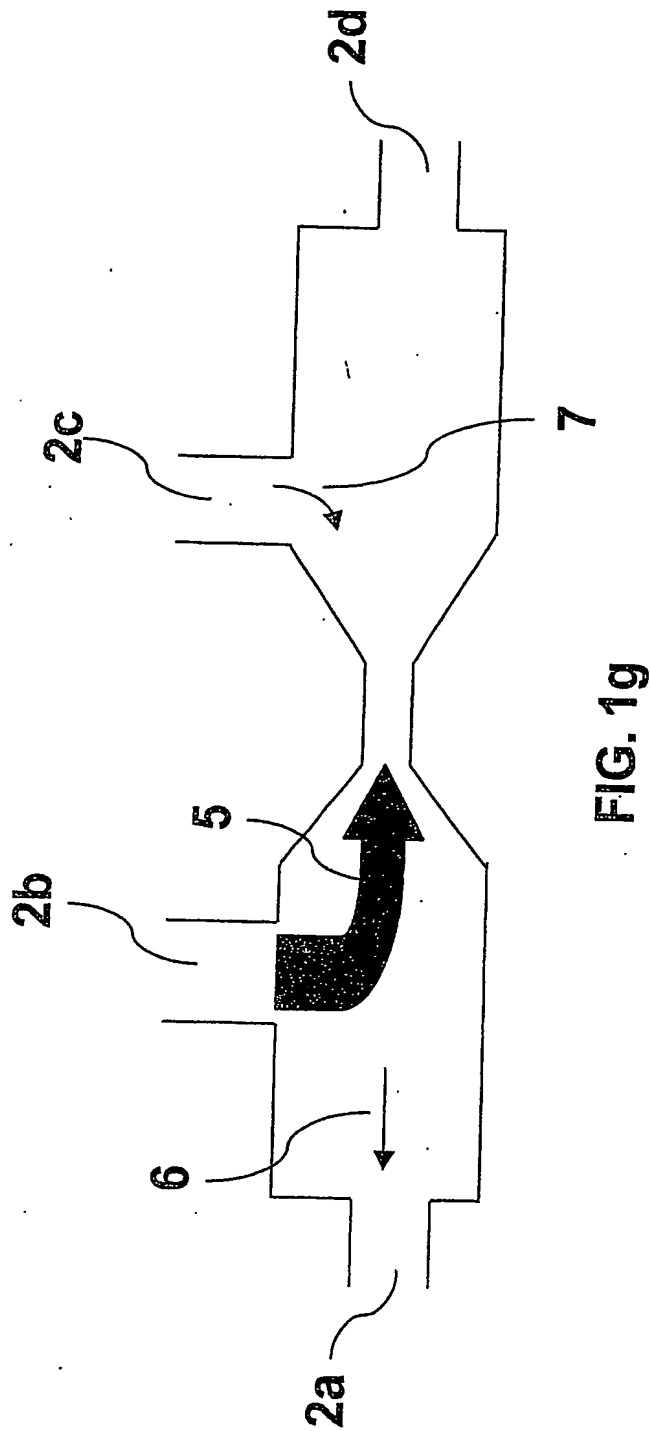
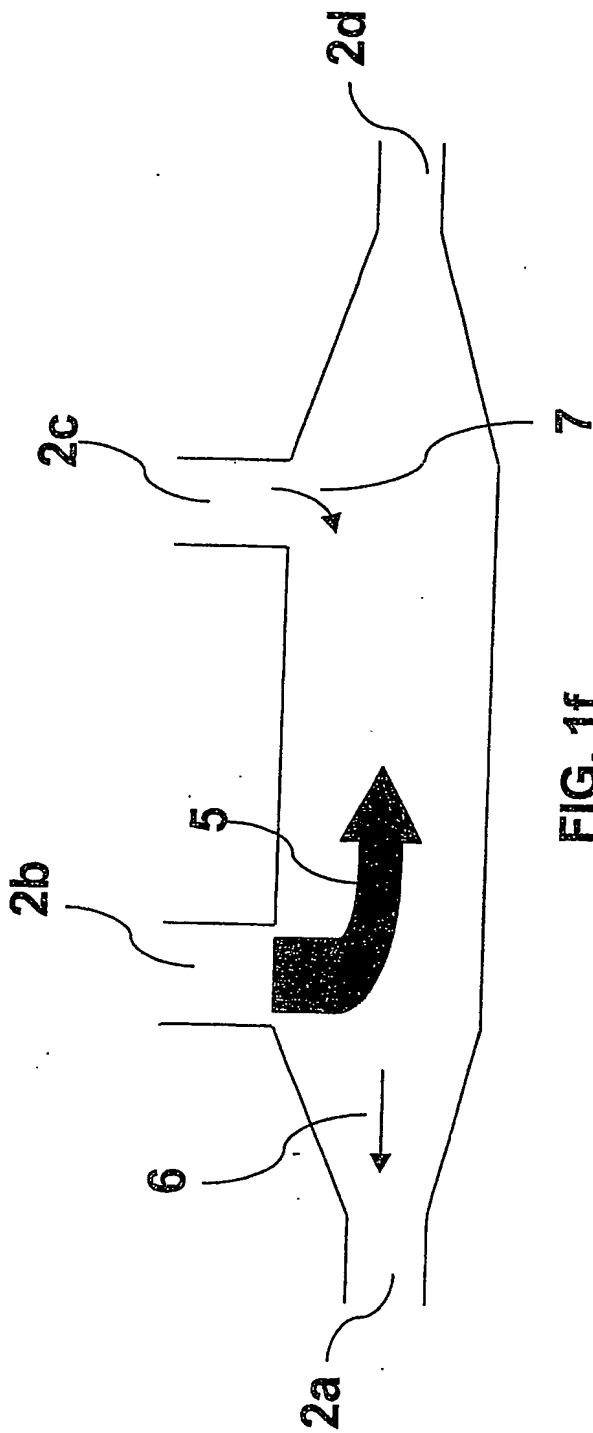


FIG. 1a







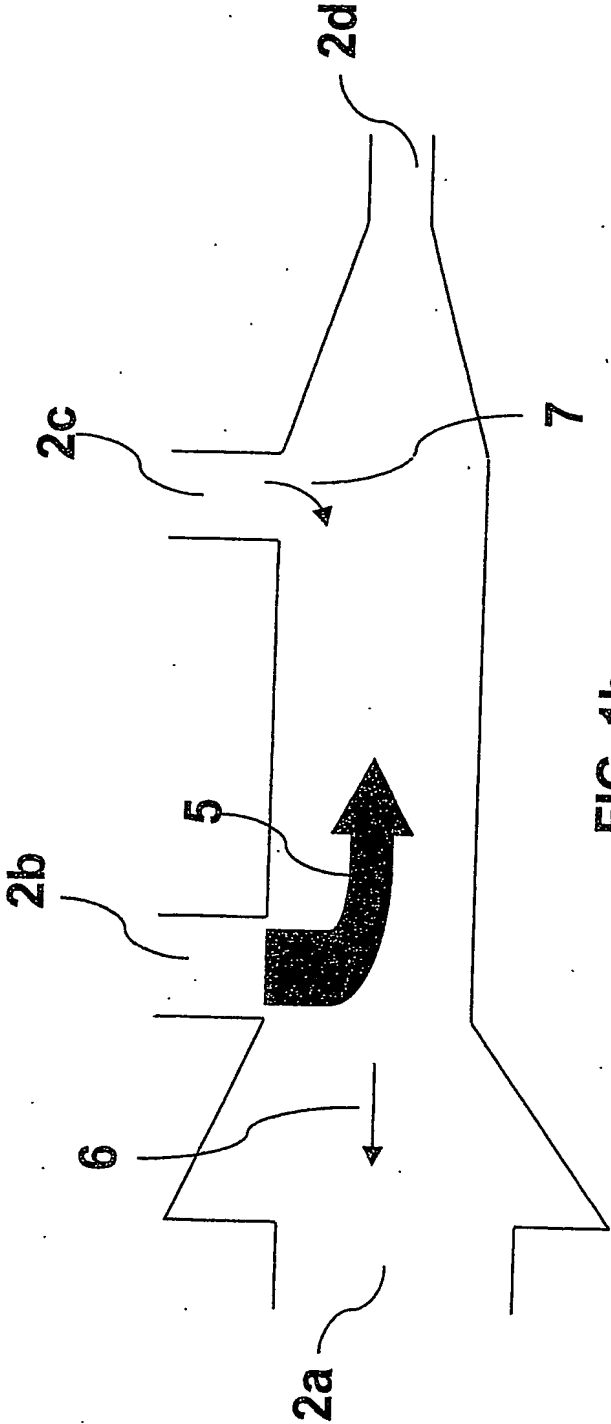


FIG. 1h

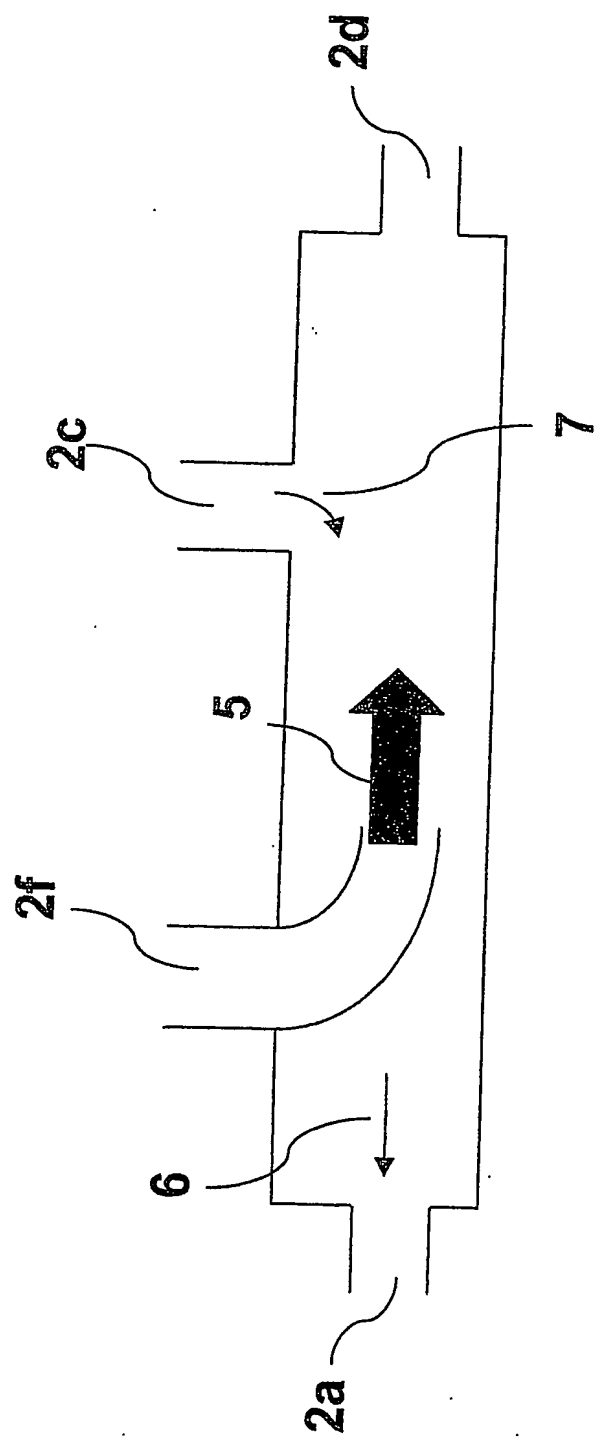


FIG. 1i

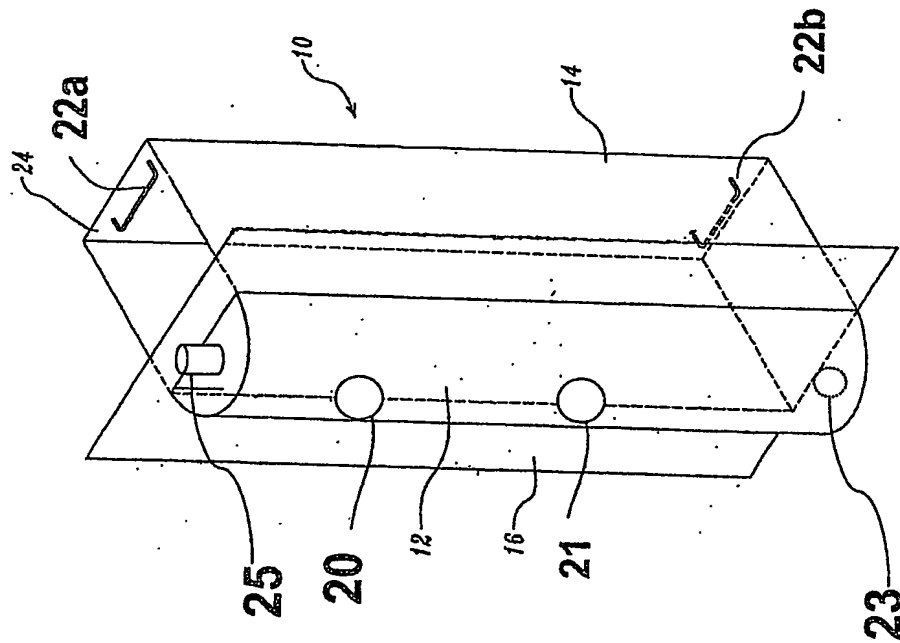


FIG. 2a

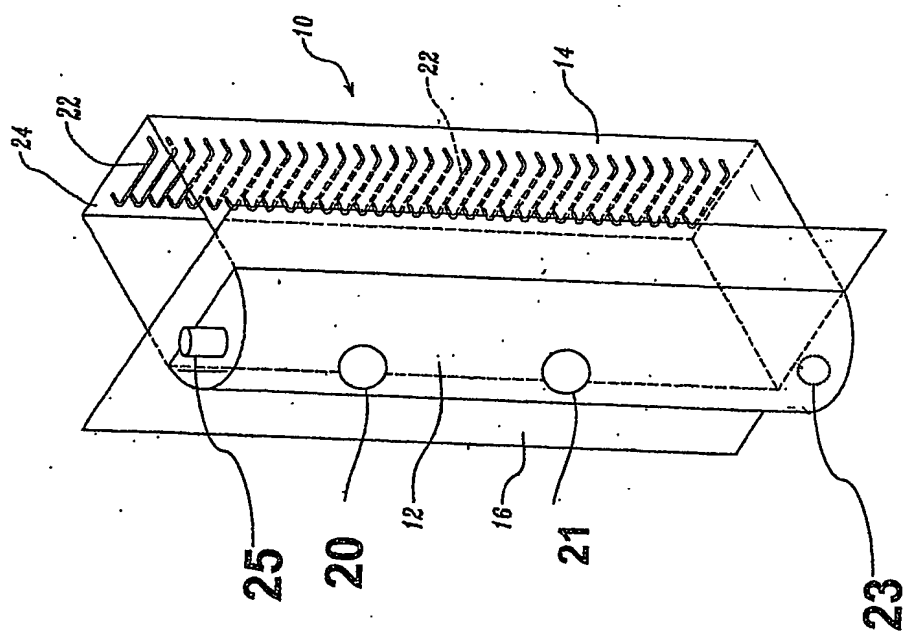
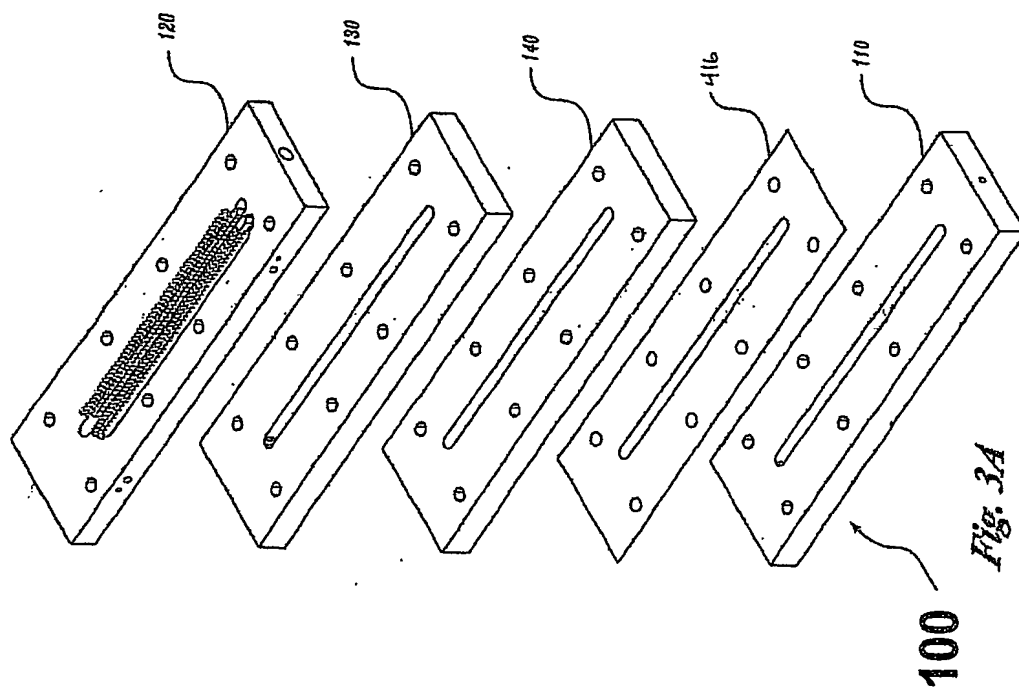


FIG. 2b



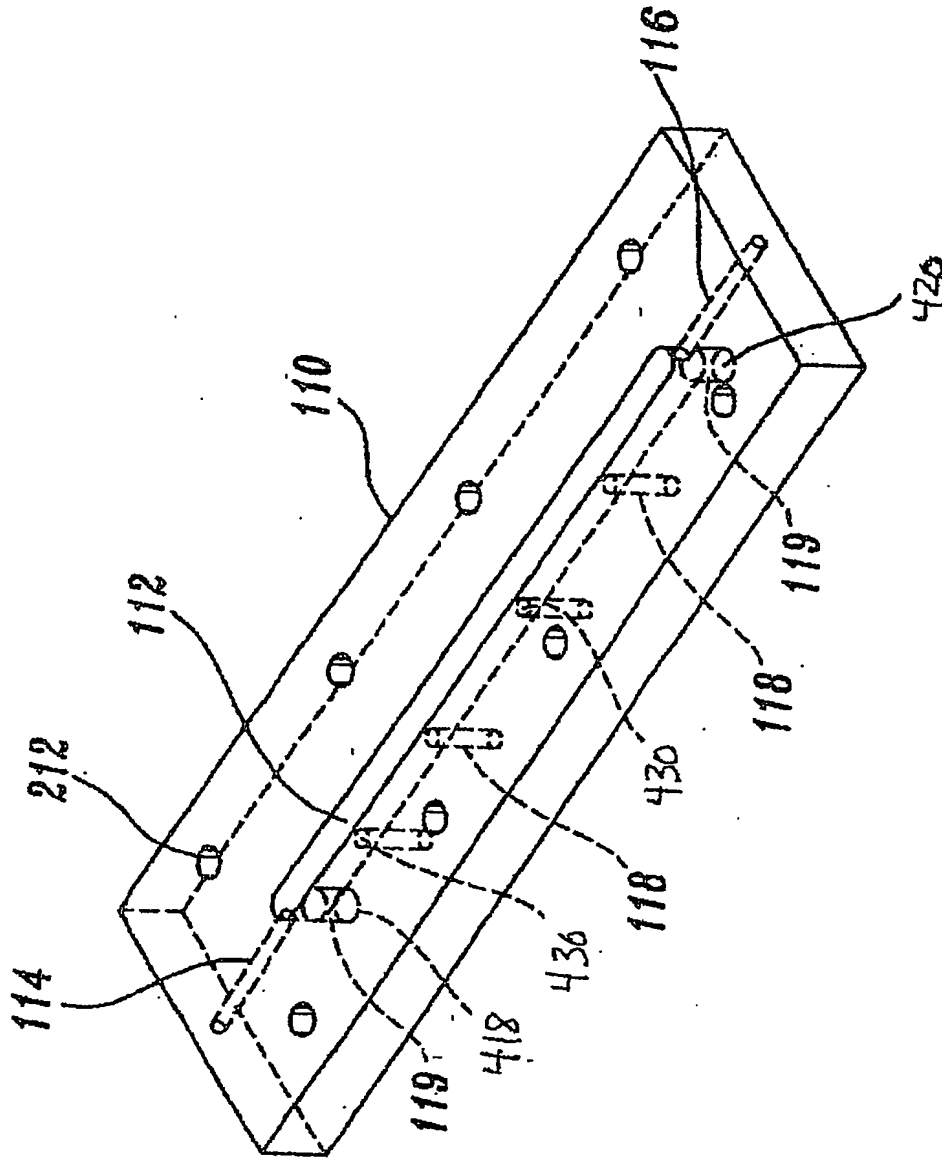


FIG. 3B

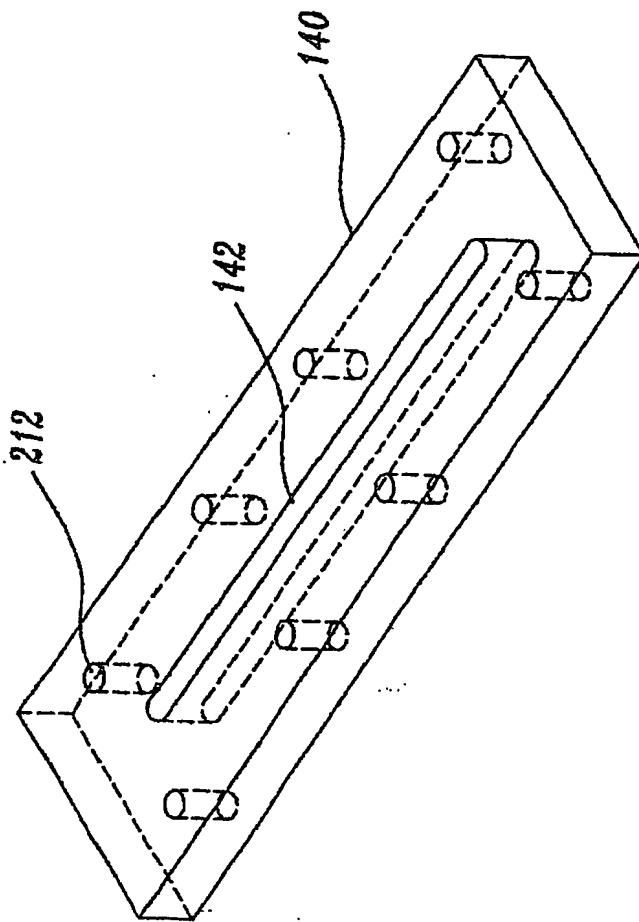


FIG. 3C

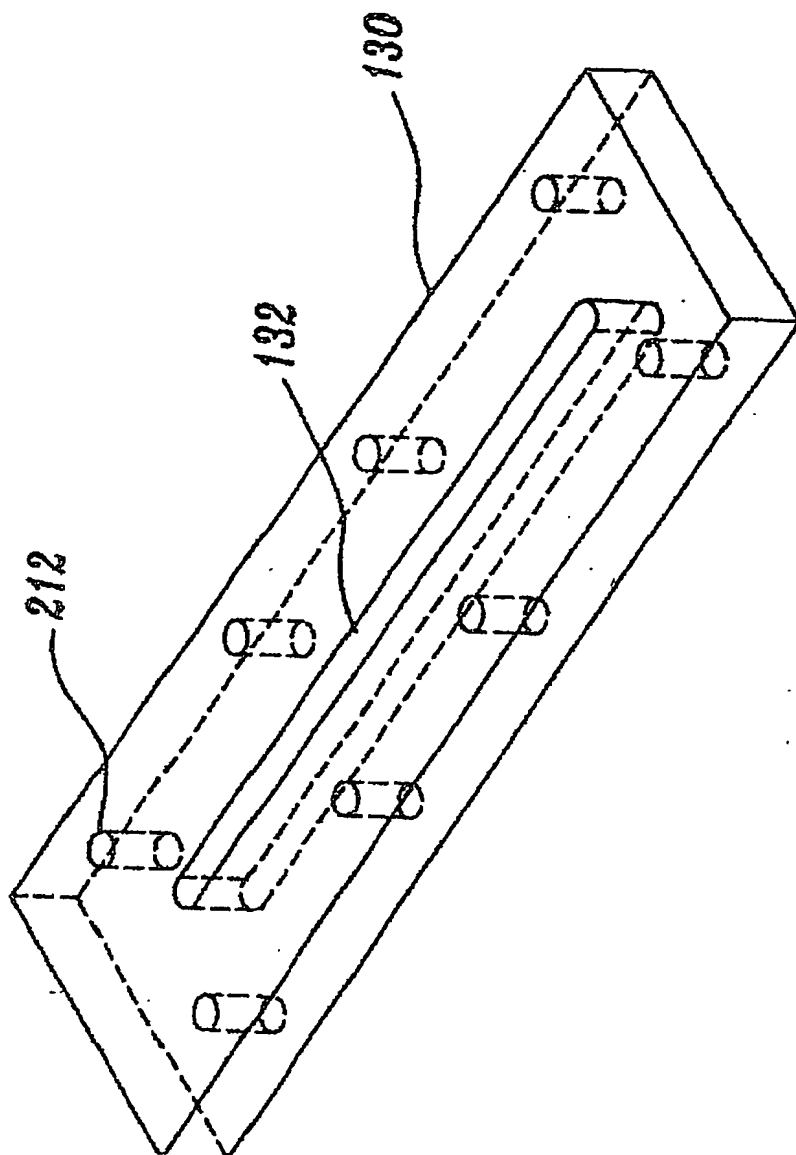


FIG. 3D

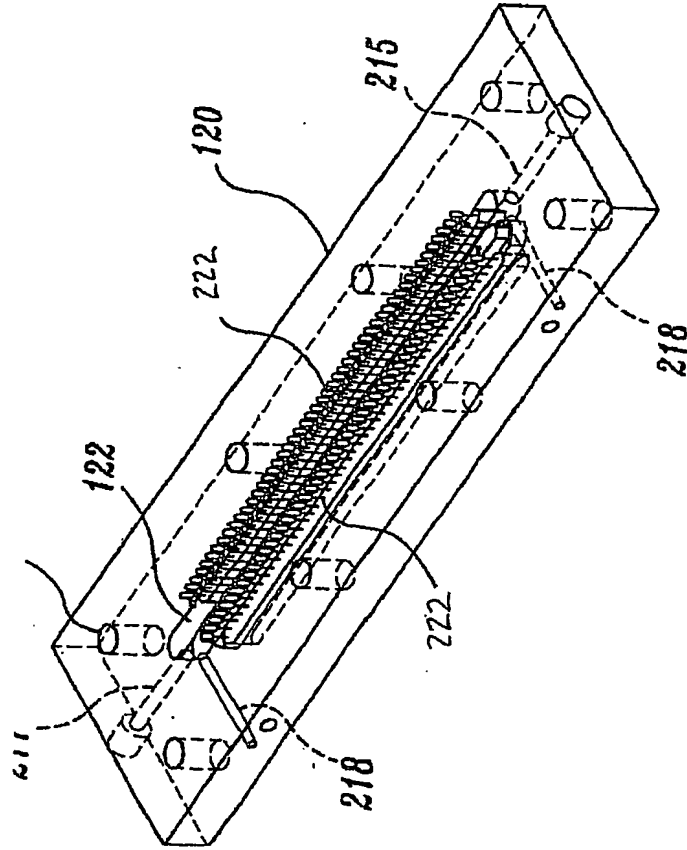


FIG. 3E

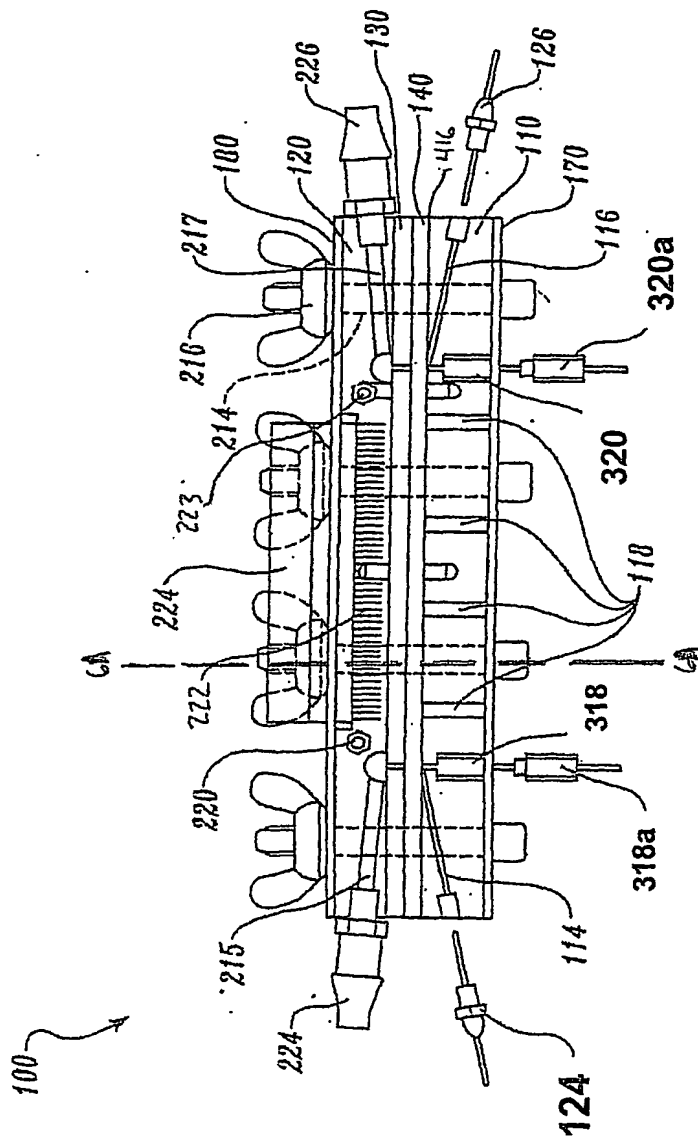


FIG. 4

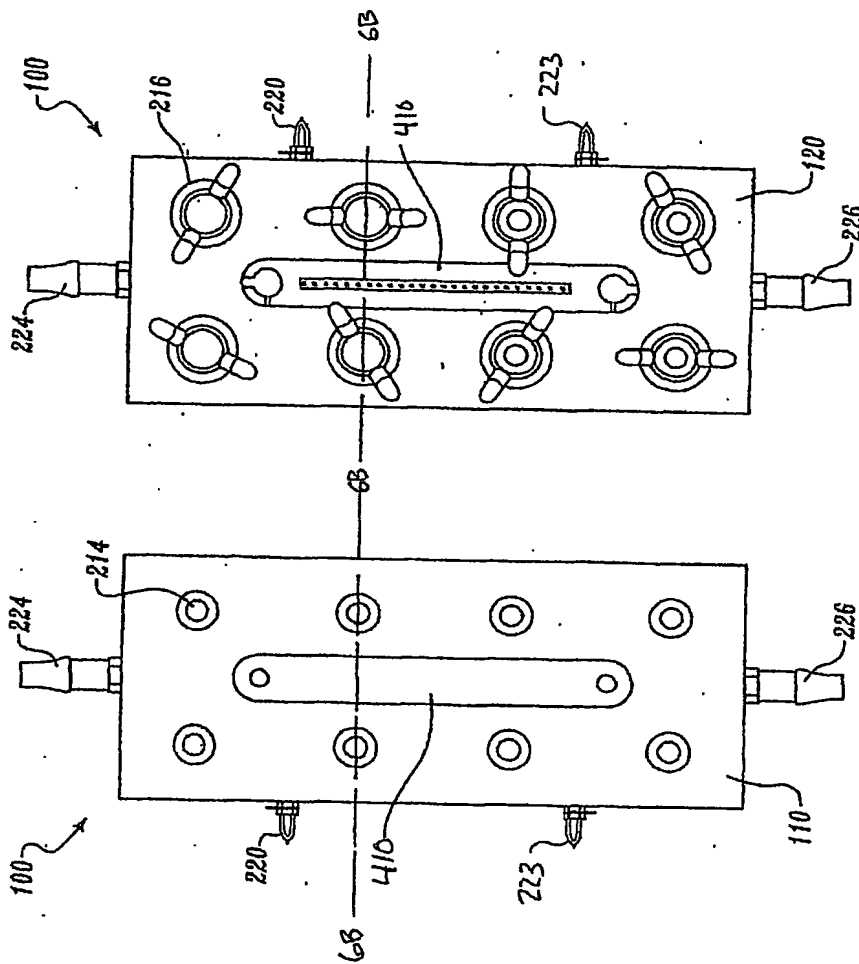


FIG. 5B

FIG. 5A

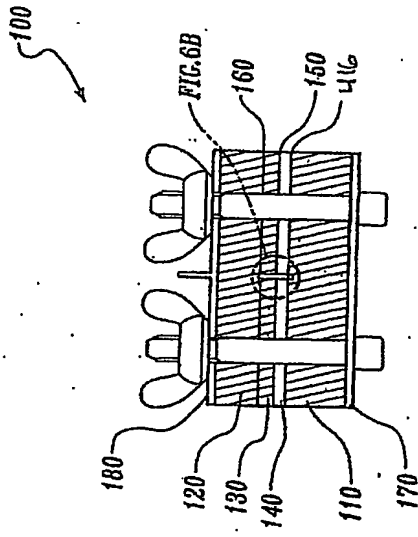


Fig. 6A

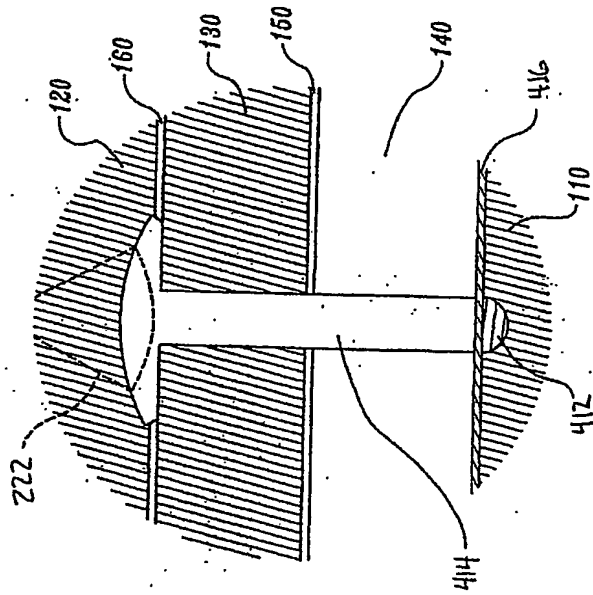


FIG. 6B

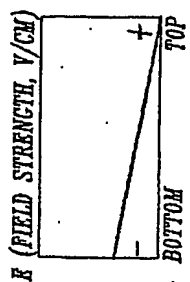


Fig. 13A

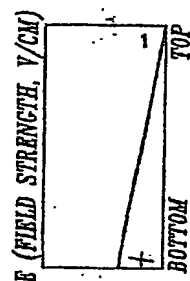


Fig. 13B



Fig. 13C

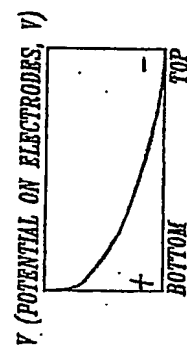


Fig. 13D

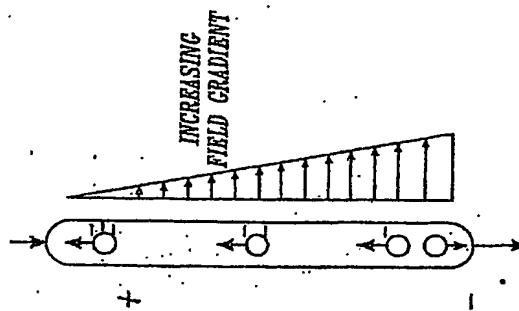


Fig. 13E

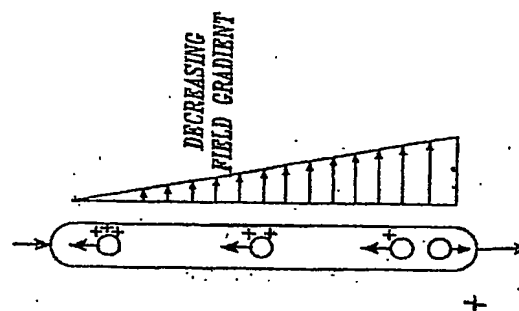
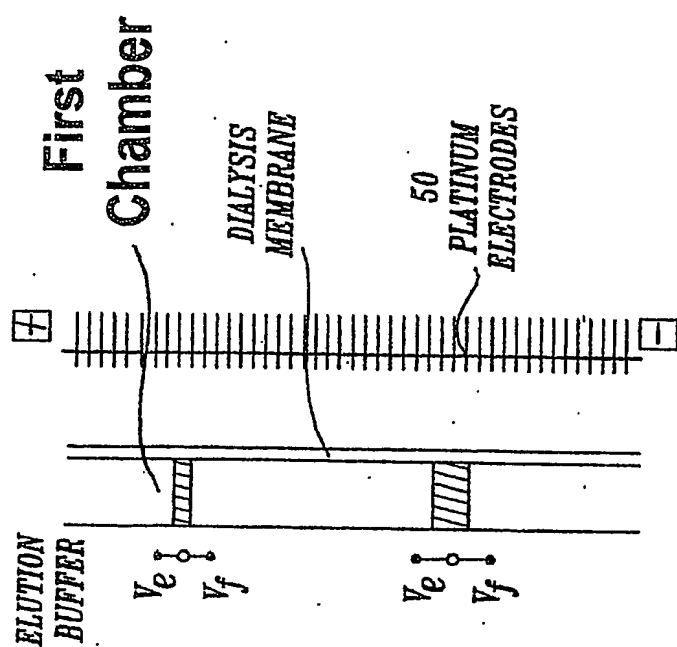


Fig. 13F



COOLANT BUFFER

V_f MIGRATION RATE WITH ELUTION BUFFER
 V_e MIGRATION OF ELECTROPHORESIS
 $V_f = V_f$ AT EQUILIBRIUM ZONE

Fig. 14

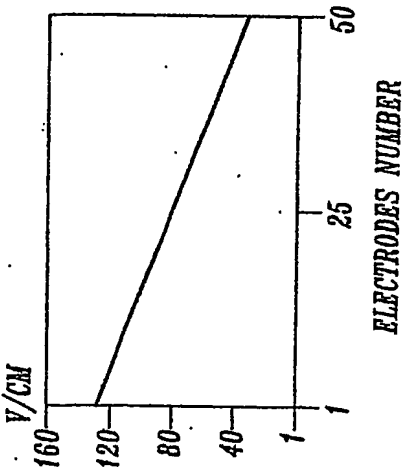


Fig. 15A

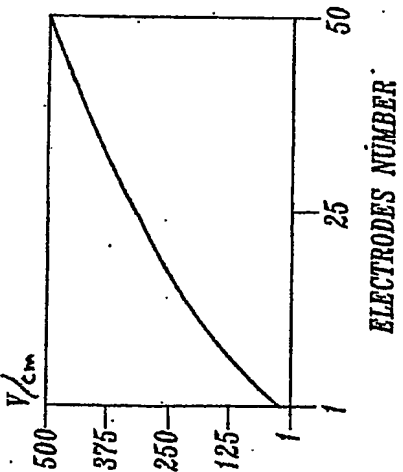


Fig. 15B

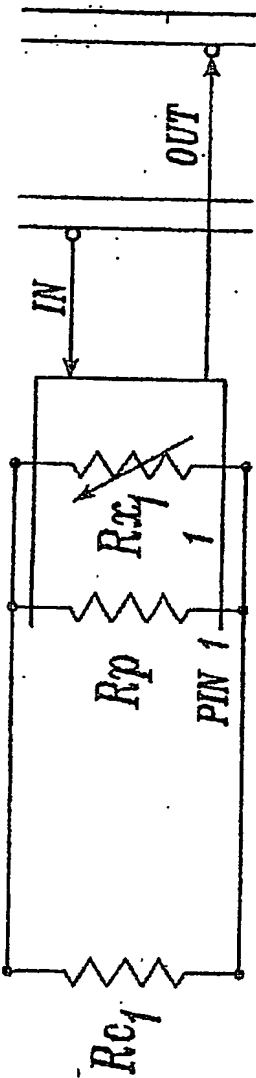


Fig. 16

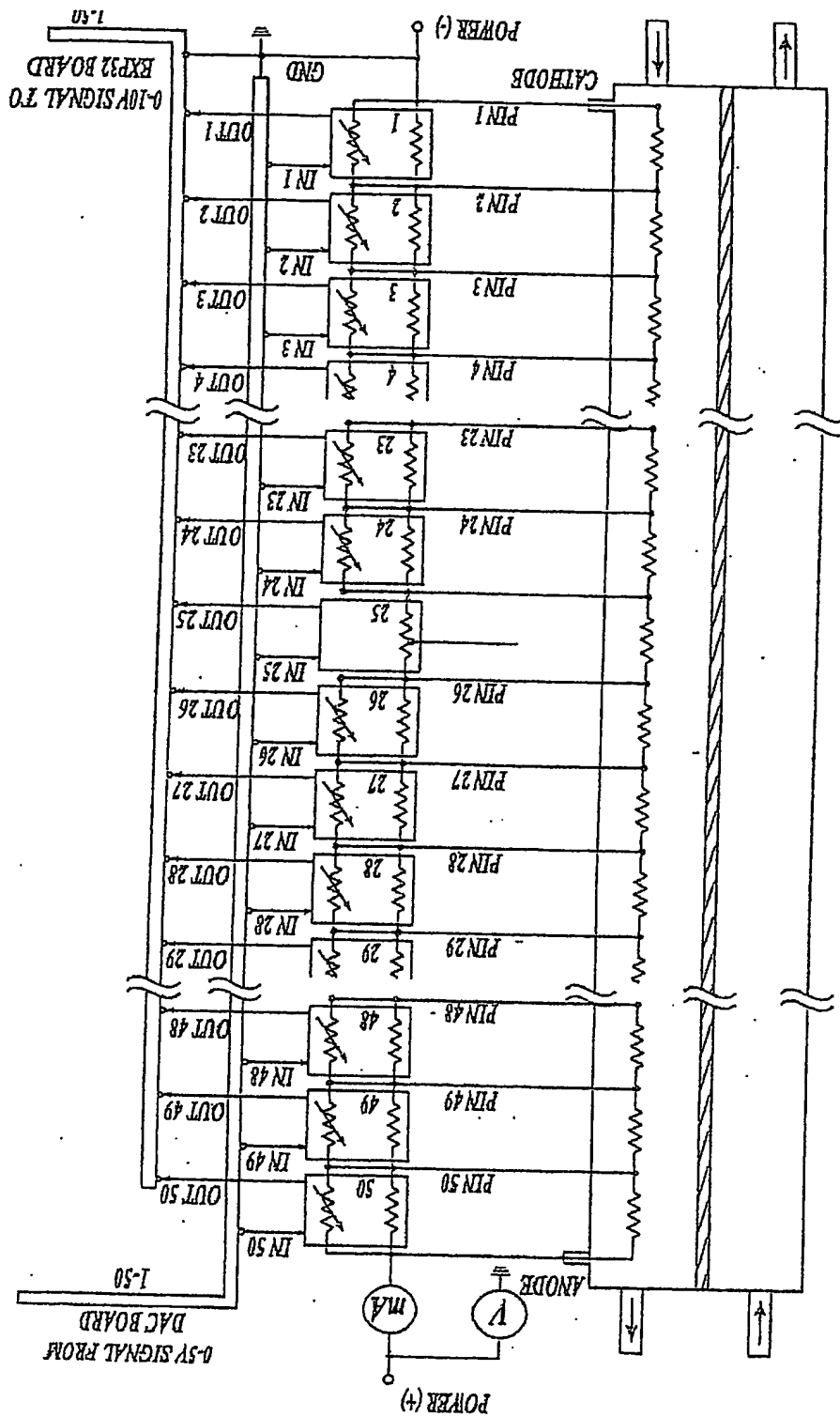


FIG. 17

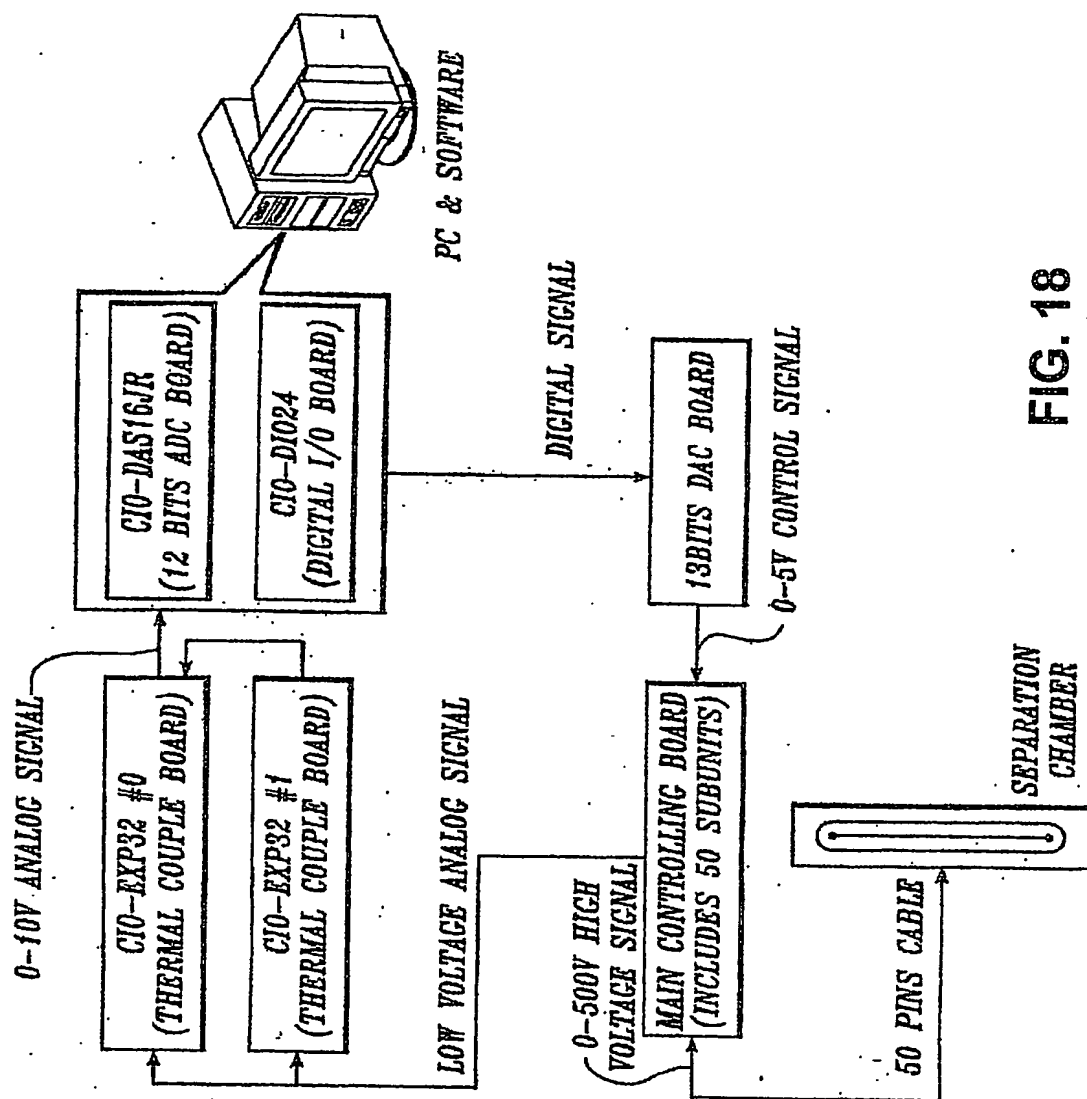


FIG. 18

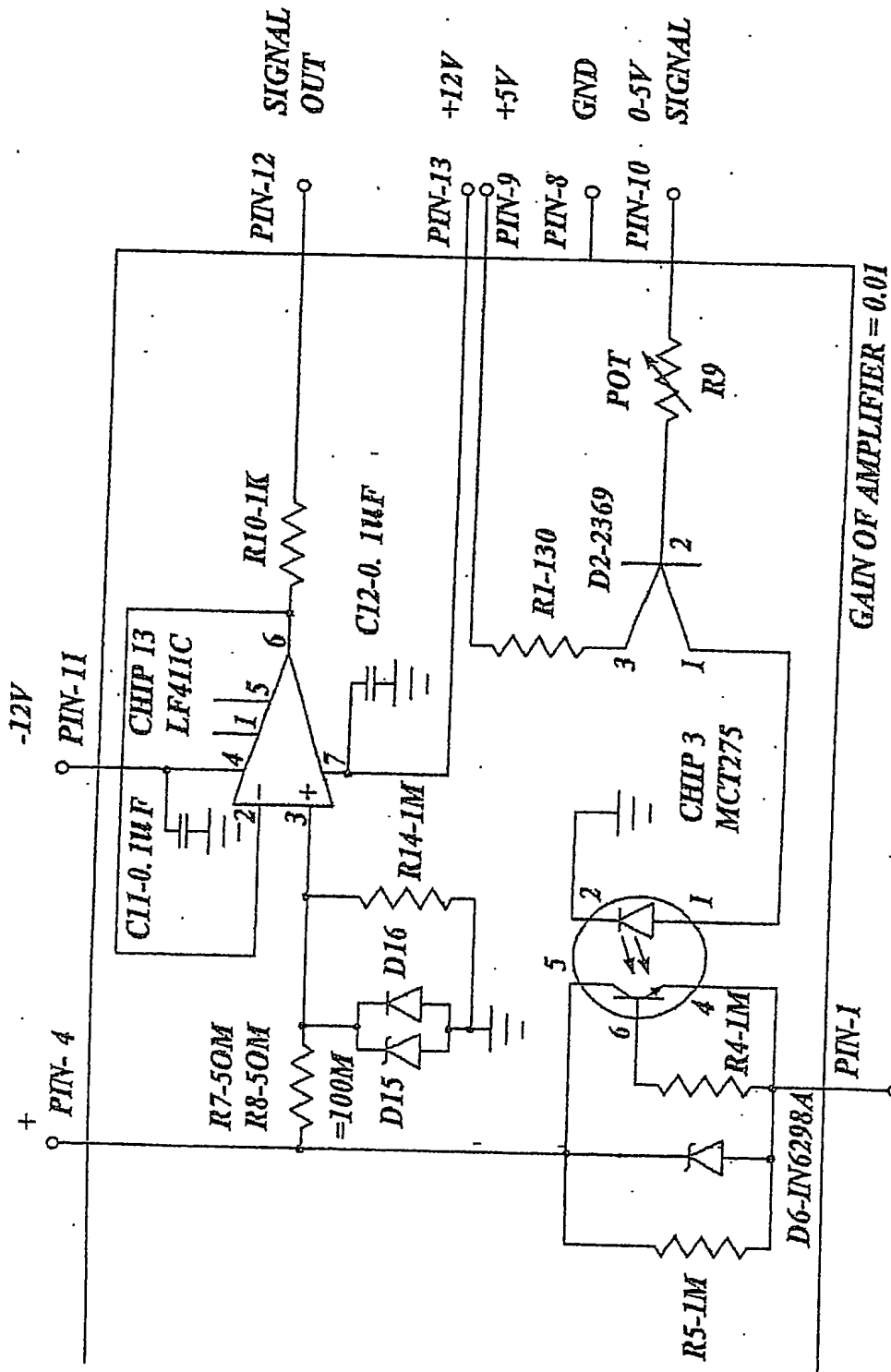


Fig. 19

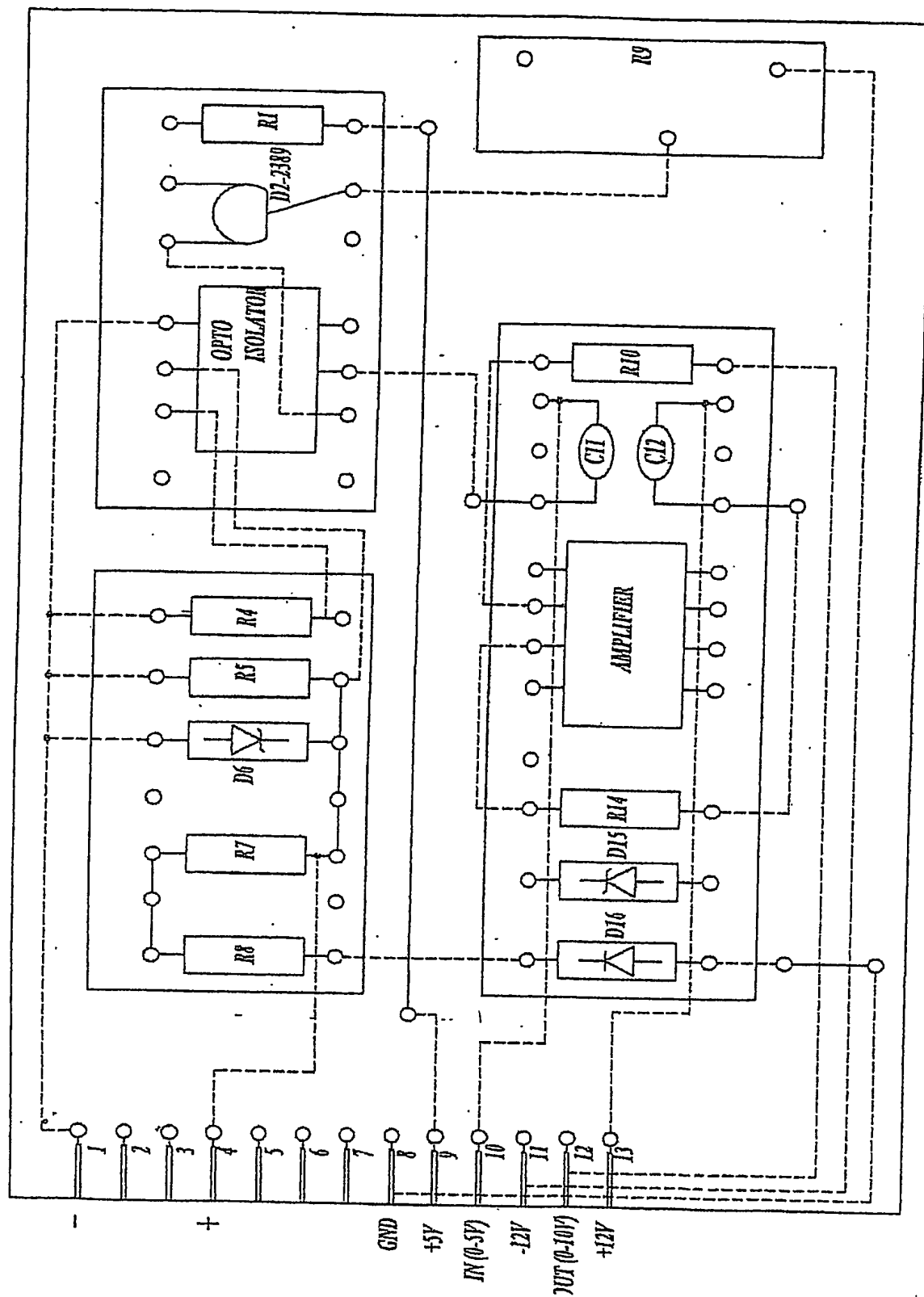
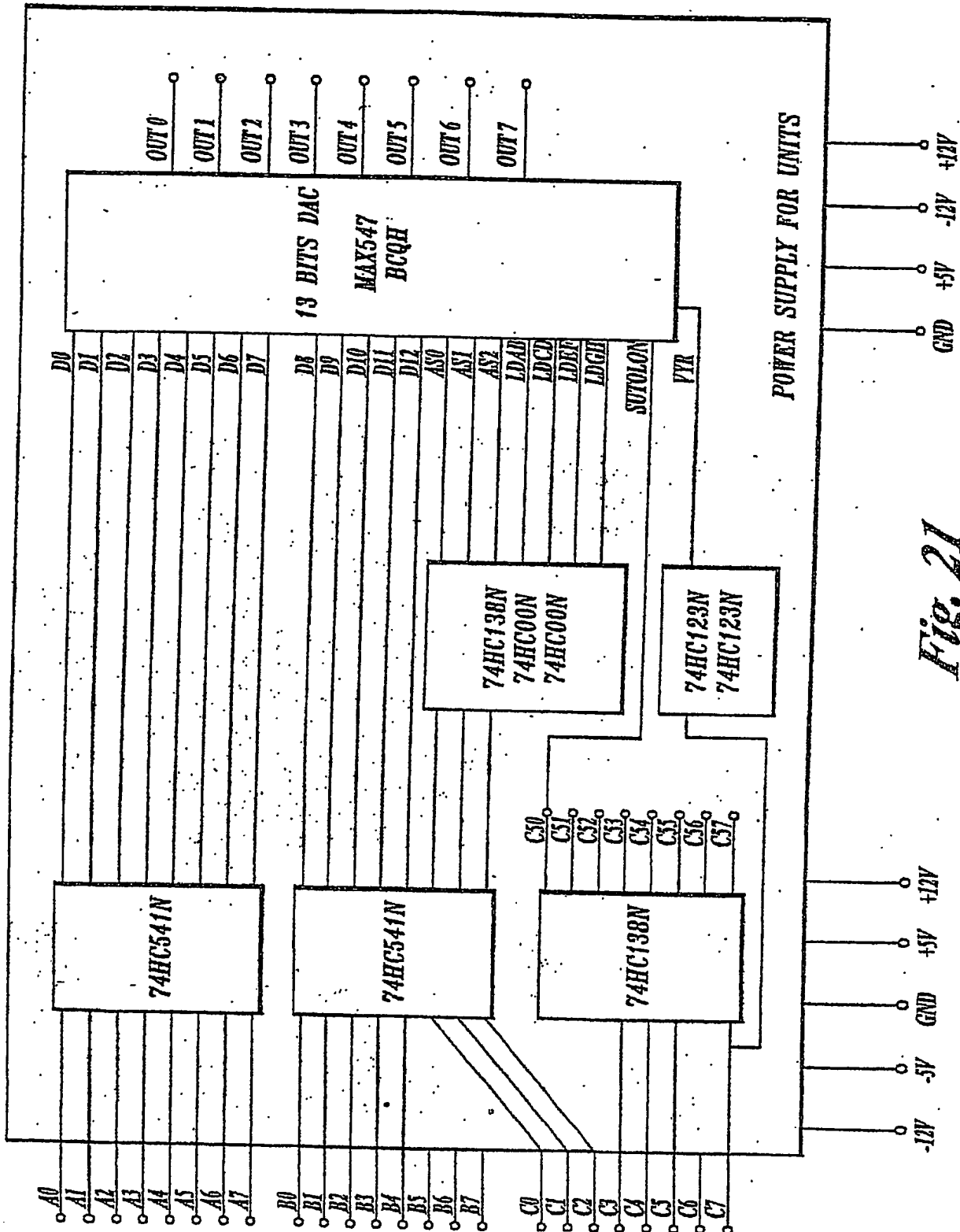


Fig. 20



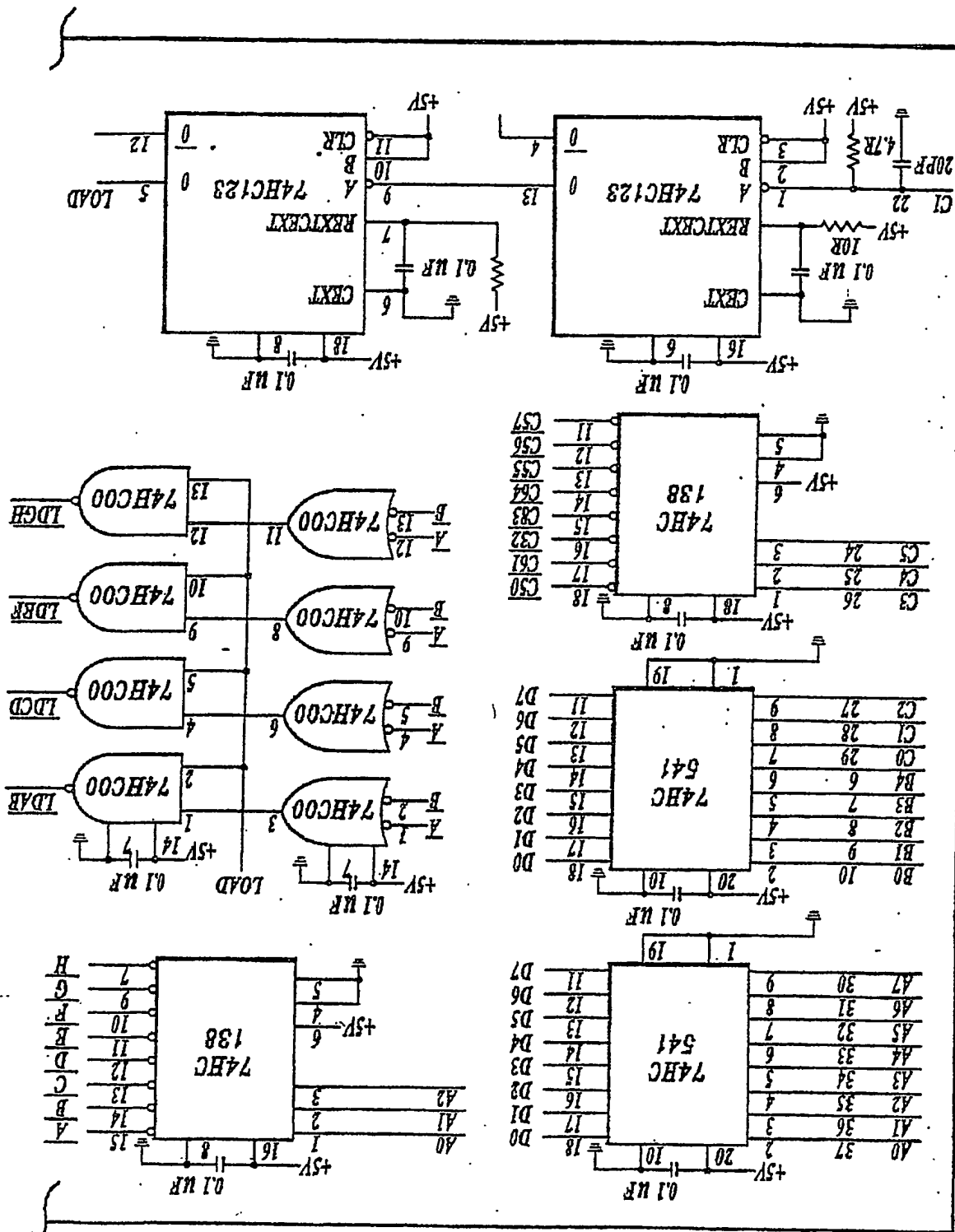


FIG. 22A

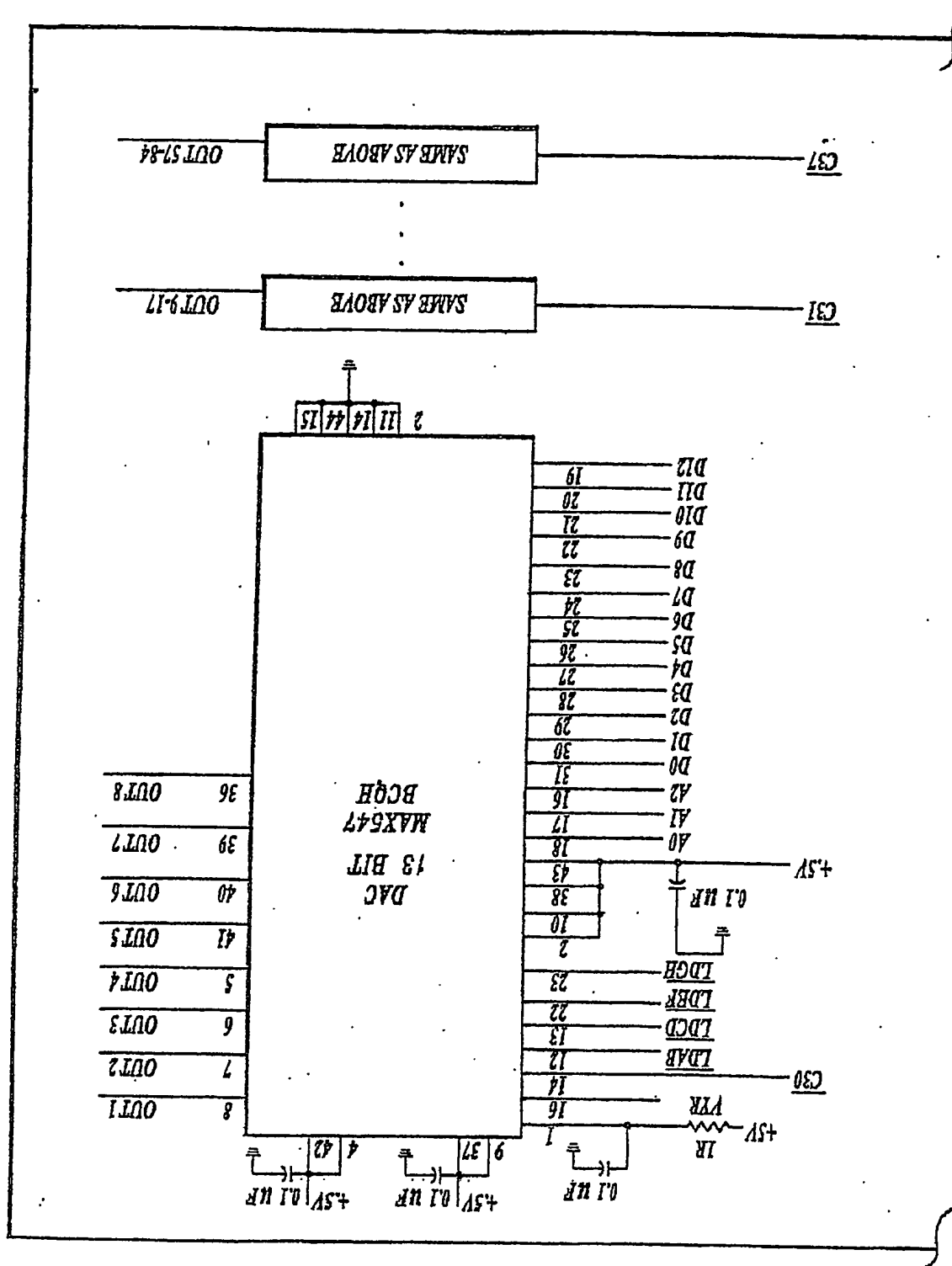


FIG. 22B

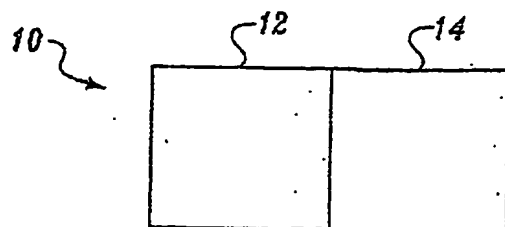


Fig. 25A

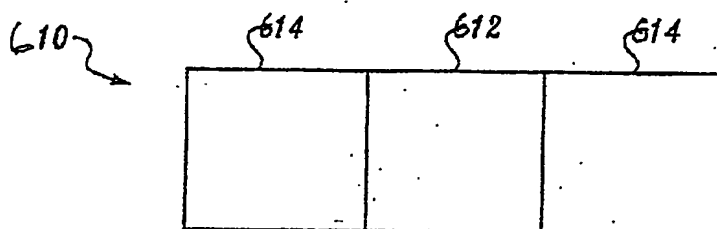


Fig. 25B

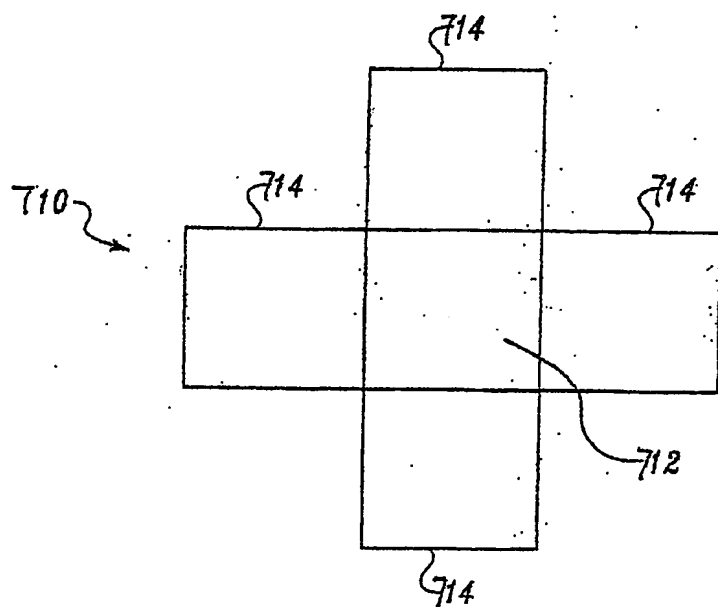


Fig. 25C

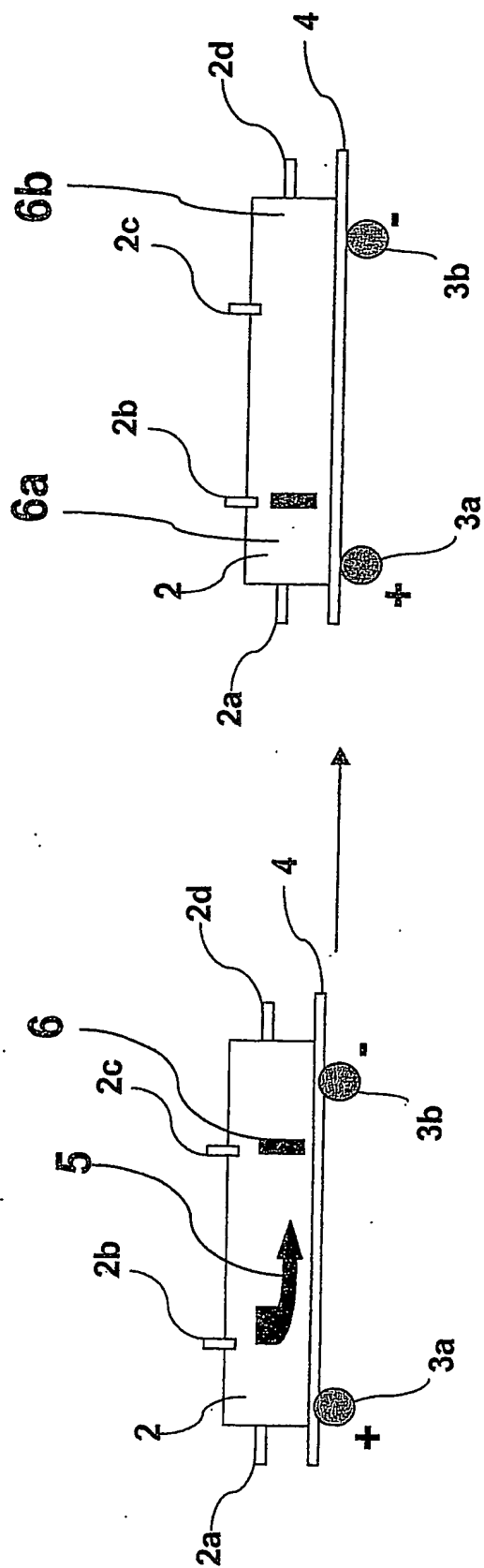


FIG. 26a

FIG. 26b

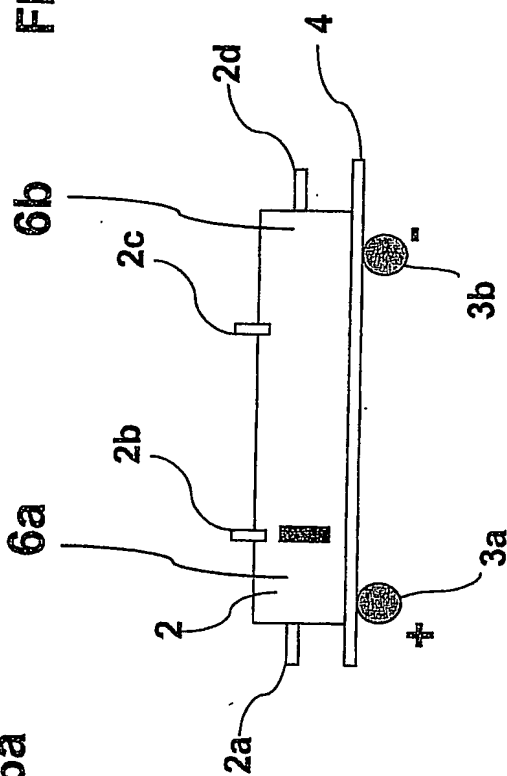


FIG. 26c

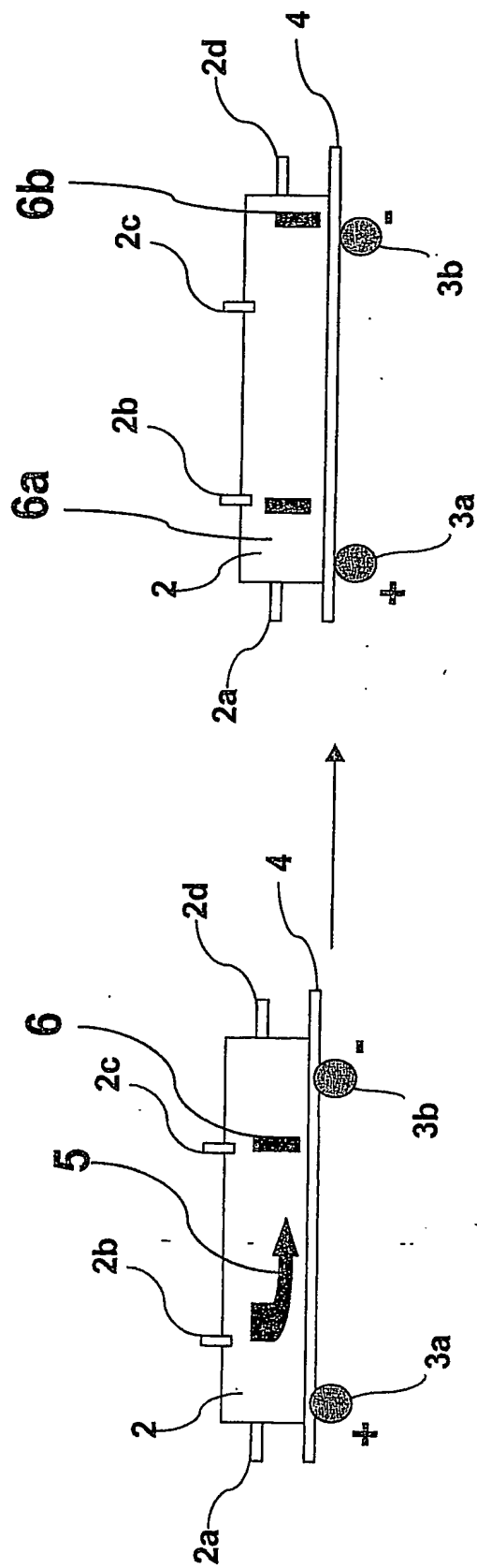


FIG. 27b

FIG. 27a